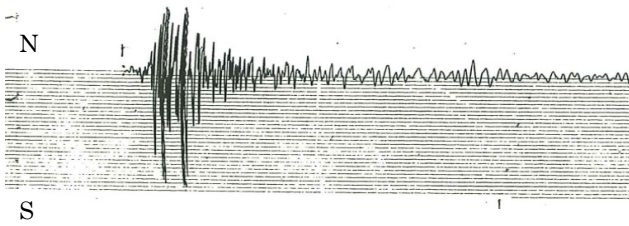
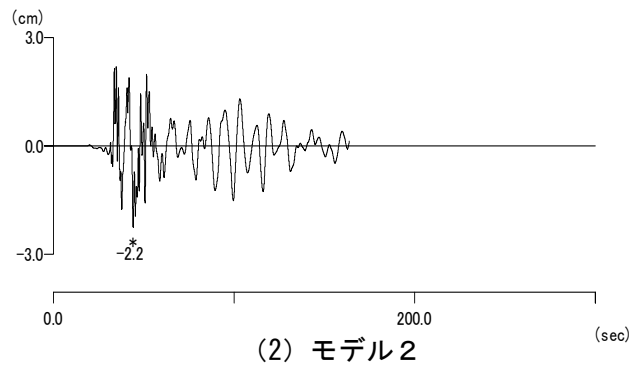
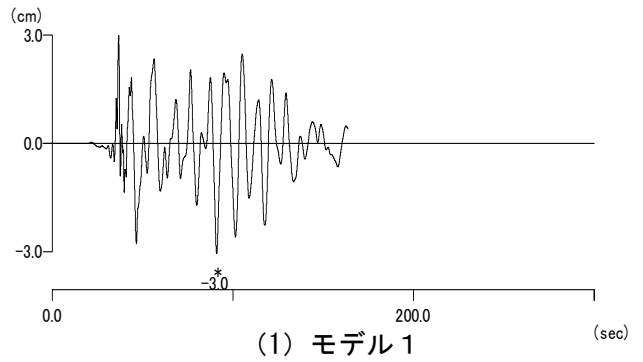


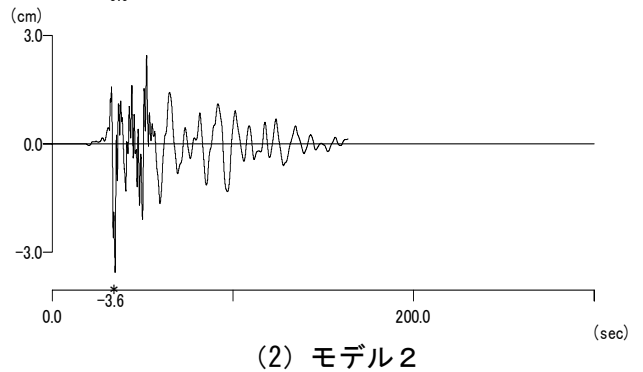
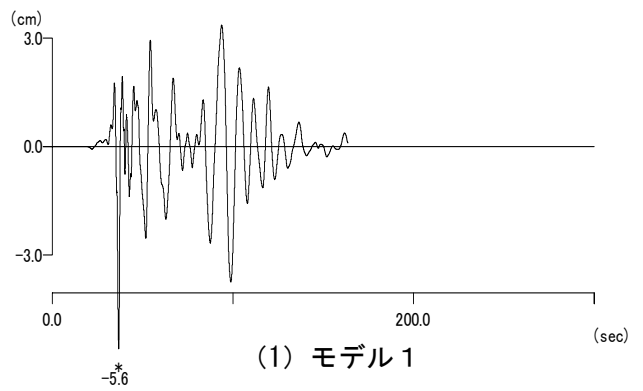
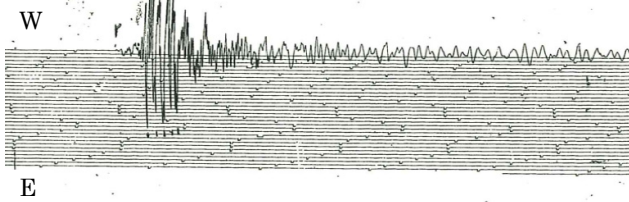
気象庁 1 倍強震計による観測波形  
(気象庁より提供)



「詳細法工学的基盤」上の計算波形



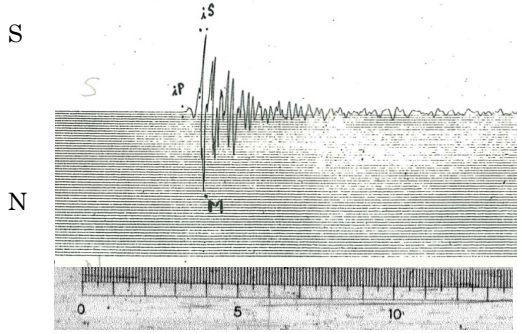
(a) N-S 成分



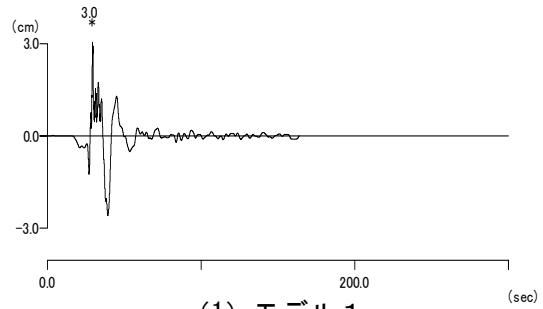
(b) W-E 成分

図 29-1 「詳細法」による計算波形と観測波形の比較 (ケース 1、宮崎地方気象台、変位波形、震源断層モデルの違いによる比較結果を含む。計算波形は、地震計の計器特性に関する補正を行っている。)

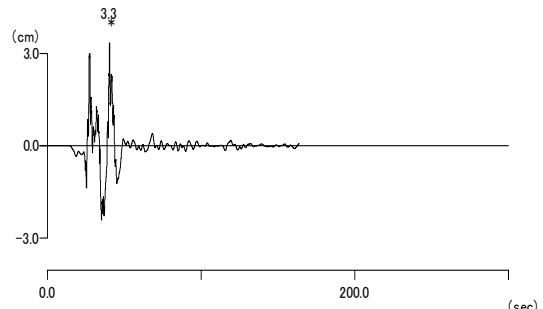
気象庁 1 倍強震計による観測波形  
(気象庁より提供)



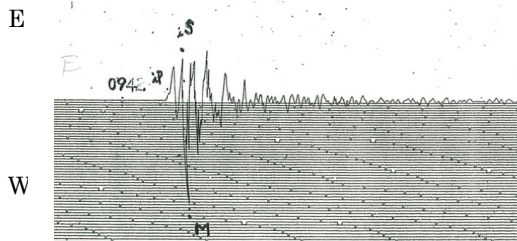
「詳細法工学的基盤」上の計算波形



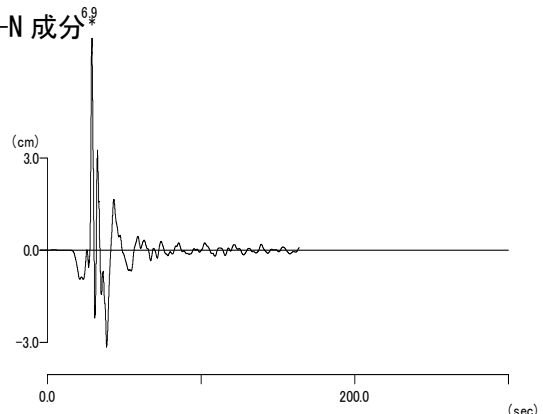
(1) モデル 1



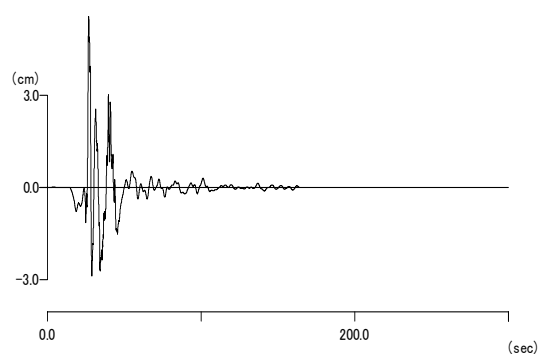
(2) モデル 2



(a) S-N 成分



(1) モデル 1

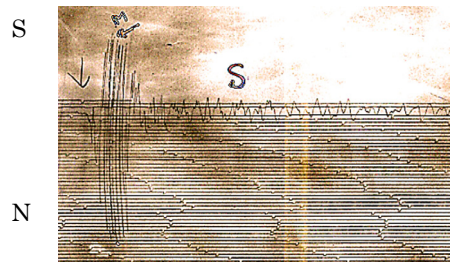


(2) モデル 2

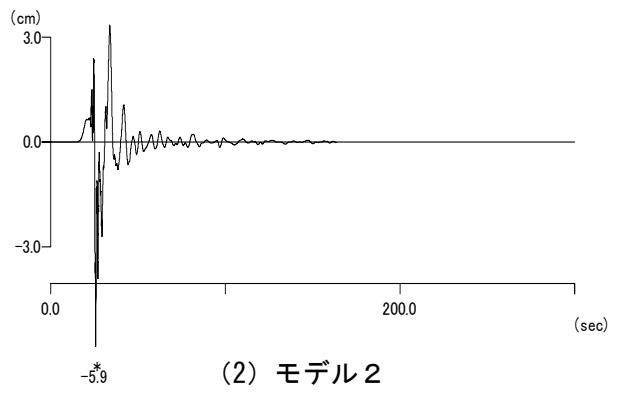
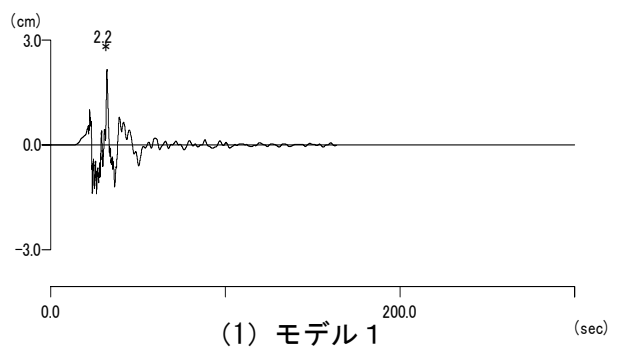
(b) E-W 成分

図 29-2 「詳細法」による計算波形と観測波形の比較 (ケース 1、延岡測候所、変位波形、震源断層モデルの違いによる比較結果を含む。計算波形は、地震計の計器特性に関する補正を行っている。)

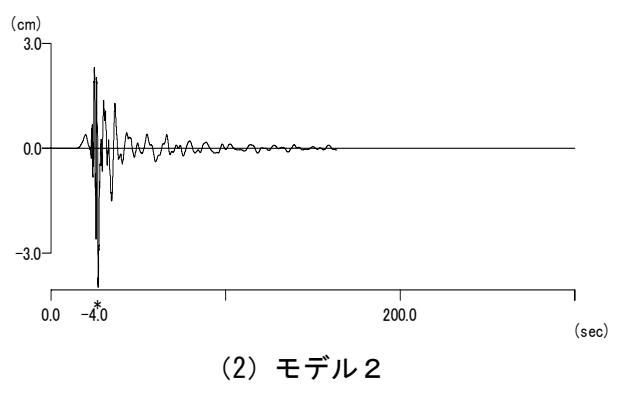
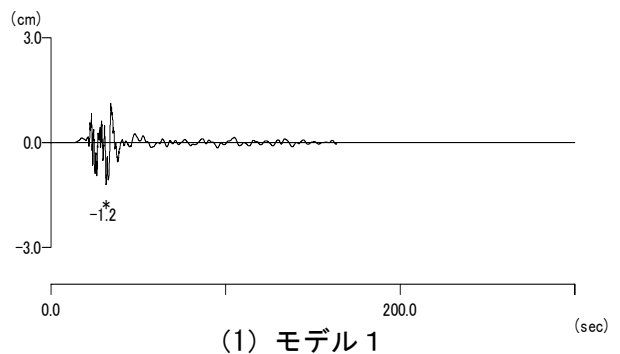
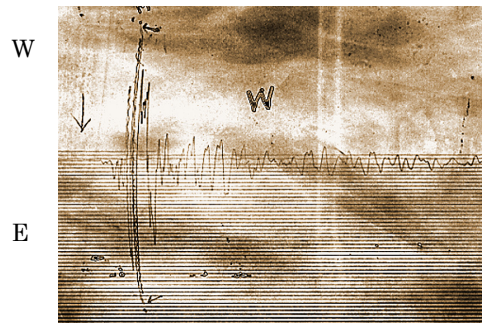
気象庁 1 倍強震計による観測波形  
(気象庁より提供)



「詳細法工学的基盤」上の計算波形



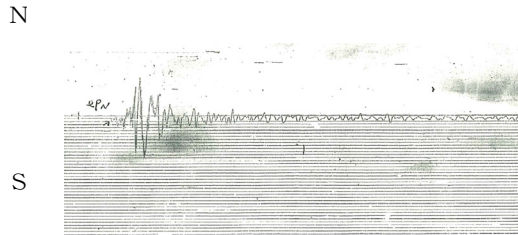
(a) S-N 成分



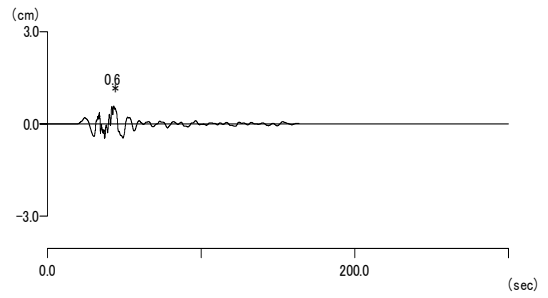
(b) W-E 成分

図 29-3 「詳細法」による計算波形と観測波形の比較 (ケース 1、足摺分室、変位波形、震源断層モデルの違いによる比較結果を含む。計算波形は、地震計の計器特性に関する補正を行っている。)

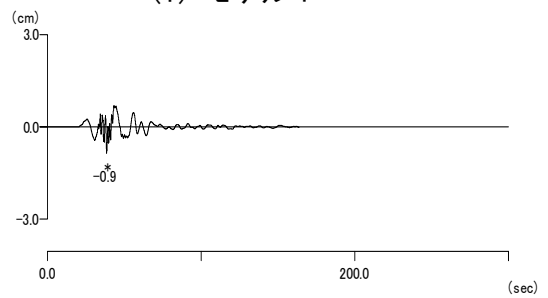
気象庁 1 倍強震計による観測波形  
(気象庁より提供)



「詳細法工学的基盤」上の計算波形

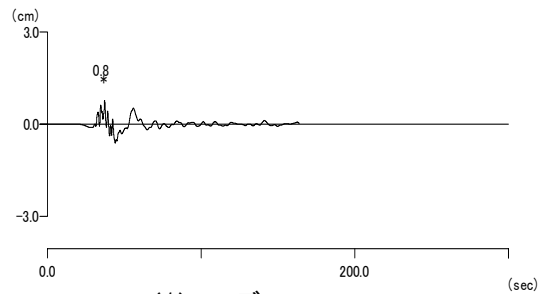
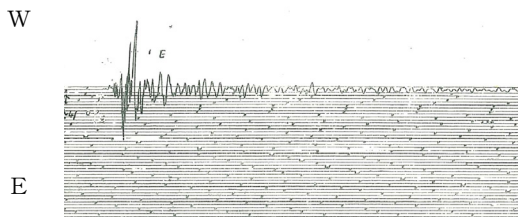


(1) モデル 1

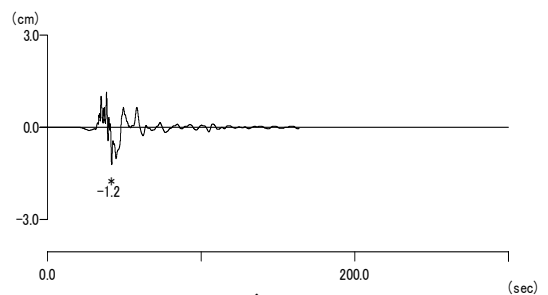


(2) モデル 2

(a) N-S 成分



(1) モデル 1

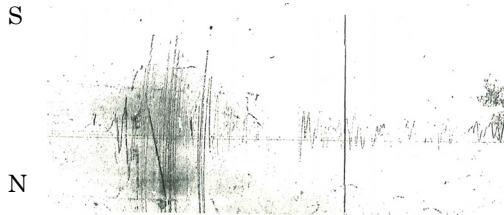


(2) モデル 2

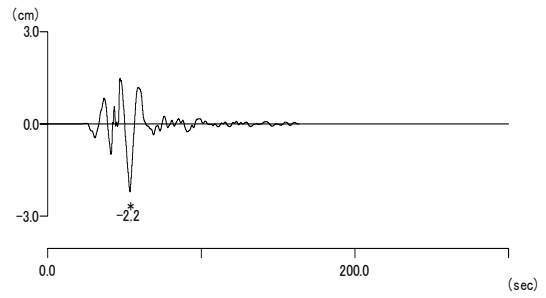
(b) W-E 成分

図 29-4 「詳細法」による計算波形と観測波形の比較 (ケース 1、宇和島測候所、変位波形、震源断層モデルの違いによる比較結果を含む。計算波形は、地震計の計器特性に関する補正を行っている。)

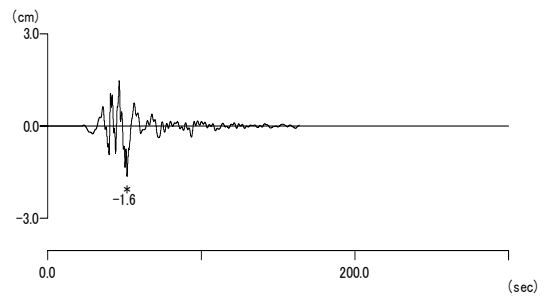
気象庁 1 倍強震計による観測波形  
(気象庁より提供)



「詳細法工学的基盤」上の計算波形

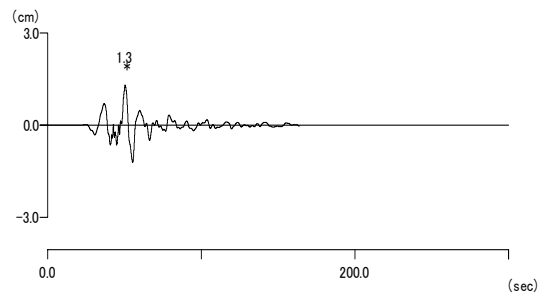
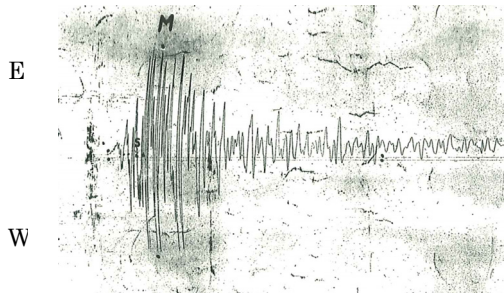


(1) モデル 1

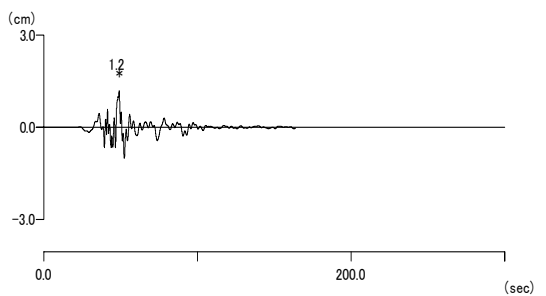


(2) モデル 2

(a) S-N 成分



(1) モデル 1



(2) モデル 2

(b) E-W 成分

図 2 9 - 5 「詳細法」による計算波形と観測波形の比較 (ケース 1、大分地方気象台、変位波形、震源断層モデルの違いによる比較結果を含む。計算波形は、地震計の計器特性に関する補正を行っている。)